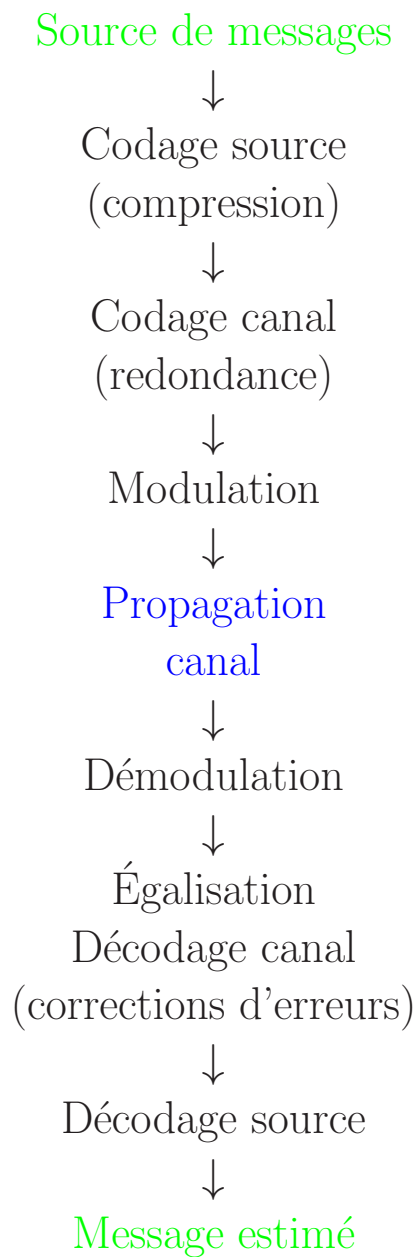


Communications Numériques I

TNS4 - cours 1/5

Pierre COMON

Chaîne de traitement



Canaux de transmission (1/3)

- Canaux guidés
 - Paire torsadé (téléphone) 300Hz-300kHz
 - Câble coaxial (ethernet) 300kHz-1GHz
 - Guide d'onde 1GHz-300GHz
 - Fibre optique 30 THz-1000THz
- Canaux Hertiens (cf. page 2/3)
- Acoustique sous-marine (cf. page 3/3)
- Acoustique aérienne
- Stockage

Canaux de transmission (2/3)

■ Canaux Hertziens

- VLF 3kHz-30kHz
- LF 30kHz-300kHz
- MF 300kHz-3MHz
- HF 3MHz-30MHz
- VHF 30MHz-300MHz
- UHF 300MHz-3GHz
- SHF 3GHz-30GHz
- EHF 30GHz-300GHz
- Optique 30THz-1000THz

Canaux de transmission (2/3)

■ Acoustique sous-marine

- ULF 15Hz-150Hz
- VLF 150Hz-1.5kHz
- LF 1.5kHz-15kHz
- MF 15kHz-150kHz
- HF 150kHz-1.5MHz
- VHF 1.5MHz-15MHz
- UHF 15MHz-150MHz
- SHF 150MHz-1.5GHz

Modulation

- Nécessité

- Analogique

AM: $m(t) = x(t) \cos \omega t$

- Numérique

Forme générale:

$$m(t) = A \sum_k b(t - kT, x_k)$$

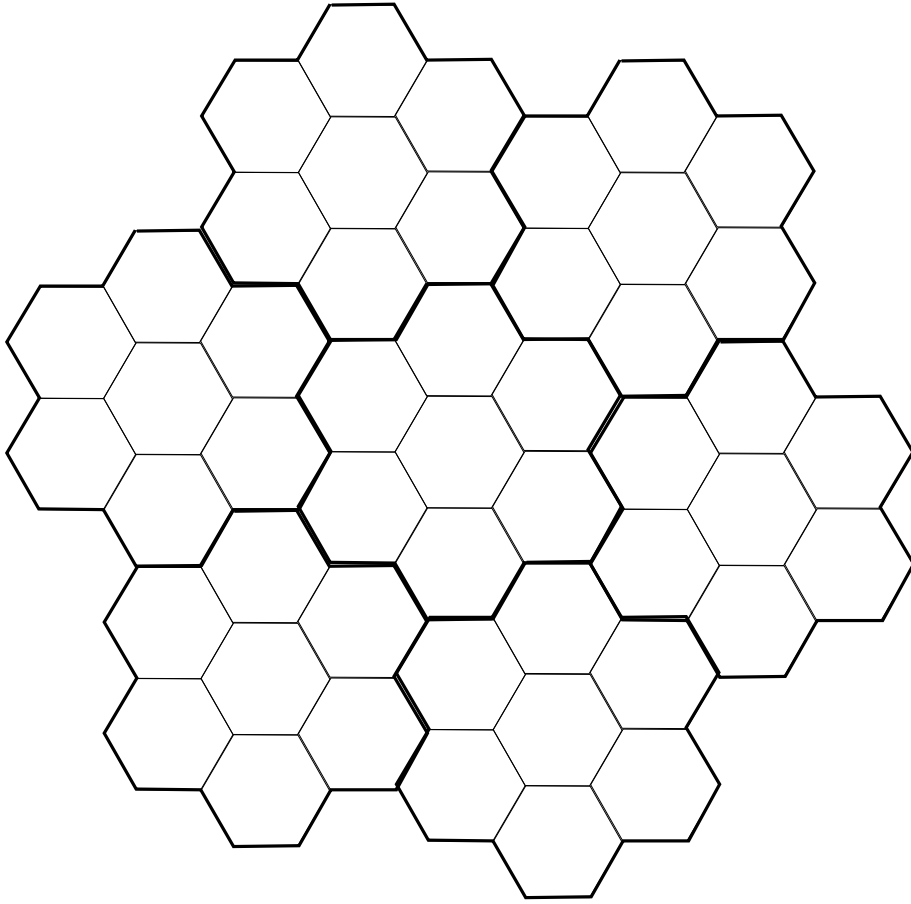
ASK, PAM: $\sum_k [x_k \cos \omega t] g(t - kT)$

PSK: $\sum_k \cos(\omega t + x_k u_T(t)) g(t - kT)$

- Numérique incontournable pour:

- Efficacité spectrale
- Transmission de données
- Multimédia

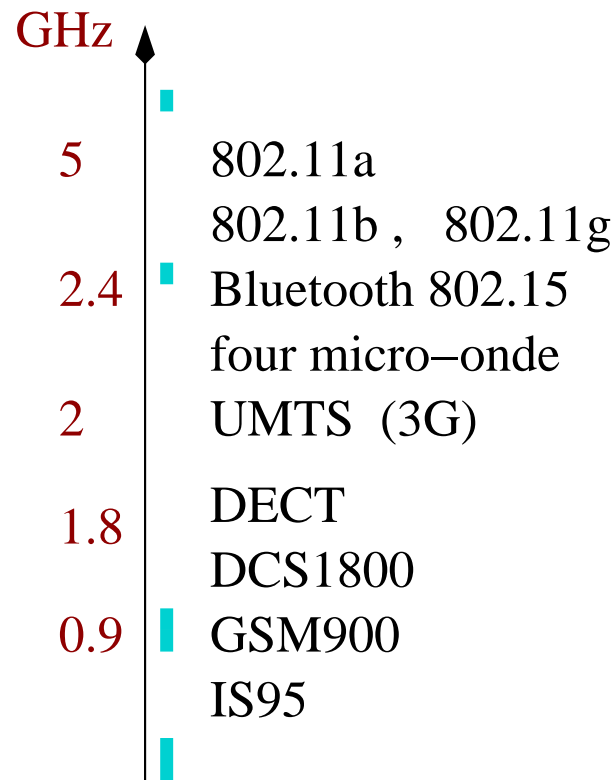
Systèmes cellulaires (1/2)



Systèmes cellulaires (2/2)

- 1ère génération (1980): Analogique
Ex: Radiocom 2000
- 2nde génération (1990): Numérique TDMA, FDMA
Motivation: efficacité spectrale
Ex: GSM, DECT, DCS1800, IS54
- 3ème génération (2000): Numérique CDMA
Motivations: réutilisation spectrale partout, limitation douce de capacité
Ex: IS95, UMTS
- Motivations des systèmes cellulaires:
 - Longue portée (Wireless Wide Area Network: WWAN)
 - Portée limitée: pertes $> (\lambda/d)^2$,
Réutilisation spectrale, Limitation des interférences
 - Transmission en ligne droite au delà de 30 MHz

Les fréquences attribuées



ISM: Industrial Scientific Medical

ART: Agence de Régulation des Télécommunications

Espaces normés

- Produit scalaire à symétrie hermitienne, $\langle \mathbf{x}, \mathbf{y} \rangle$:
 - Linéarité: $\langle \mathbf{x}_1 + \mathbf{x}_2, \mathbf{y} \rangle = \langle \mathbf{x}_1, \mathbf{y} \rangle + \langle \mathbf{x}_2, \mathbf{y} \rangle$
 - Symétrie hermitienne: $\langle \mathbf{x}, \mathbf{y} \rangle = \langle \mathbf{y}, \mathbf{x} \rangle^*$
 - Homogénéité: $\langle \mathbf{x}, \lambda \mathbf{y} \rangle = \lambda \langle \mathbf{x}, \mathbf{y} \rangle$
- Norme: $\|\mathbf{x}\|^2 = \langle \mathbf{x}, \mathbf{x} \rangle$
- Inégalité de Schwarz: $|\langle \mathbf{x}, \mathbf{y} \rangle|^2 \leq \|\mathbf{x}\|^2 \cdot \|\mathbf{y}\|^2$
avec égalité ssi $\exists \alpha, \beta / \|\alpha \mathbf{x} + \beta \mathbf{y}\|^2 = 0$.

Signaux déterministes

Dimension finie

Base orthonormée finie $\{\mathbf{u}_k\}$

- $\mathbf{x} = \sum_k \mathbf{u}_k x_k, \quad x_k = \langle \mathbf{u}_k, \mathbf{x} \rangle$
- $\langle \mathbf{x}, \mathbf{y} \rangle = \sum_k x_k^* y_k$
en particulier, $\|\mathbf{x}\|^2 = \sum_k |x_k|^2$.

Dimension infinie

- Energie finie sur I : $\langle x(t), y(t) \rangle = \int_I x(t)^* y(t) dt$
- Puissance finie sur $[0, T]$: $\langle x(t), y(t) \rangle = \frac{1}{T} \int_0^T x(t)^* y(t) dt$
- Norme associée: $\|x(t)\|^2 = \langle x(t), x(t) \rangle$

Décompositions matricielles (1/2)

- Gauss: toute matrice \mathbf{M} peut se décomposer en:

$$\mathbf{M} = \mathbf{L} \mathbf{U}$$

avec \mathbf{L} triangulaire inférieure, et \mathbf{U} triangulaire supérieure

- Factorisation QR: toute matrice \mathbf{M} peut se décomposer en:

$$\mathbf{M} = \mathbf{Q} \mathbf{R}$$

avec \mathbf{Q} unitaire et \mathbf{R} triangulaire.

- Algorithme Gram-Schmidt. \rightarrow orthonormalise m vecteurs.

- EVD: Toute matrice \mathbf{M} admet des éléments propres:

$$\mathbf{M} \mathbf{T} = \mathbf{T} \mathbf{\Lambda}, \quad \mathbf{\Lambda} \text{ diagonale}$$

- Les colonnes \mathbf{t}_i de \mathbf{T} sont les vecteurs propres de \mathbf{M} :
 $\mathbf{M} \mathbf{t}_i = \mathbf{t}_i \lambda_i$
- \mathbf{M} non défective (ou “diagonalisable”) ssi \mathbf{T} inversible:
 $\mathbf{T}^{-1} \mathbf{M} \mathbf{T} = \mathbf{\Lambda}$
- Si \mathbf{M} est “normale”, càd si $\mathbf{M}^H \mathbf{M} = \mathbf{M} \mathbf{M}^H$, alors \mathbf{T} est unitaire:

$$\mathbf{T}^H \mathbf{M} \mathbf{T} = \mathbf{\Lambda}$$

Décompositions matricielles (2/2)

- **SVD**: Toute matrice \mathbf{M} se décompose en:

$$\mathbf{M} = \mathbf{U} \mathbf{\Sigma} \mathbf{V}^H$$

où \mathbf{U} et \mathbf{V} unitaires, et $\mathbf{\Sigma}$ diagonale réelle positive.

- Les colonnes \mathbf{u}_i et \mathbf{v}_i de \mathbf{U} et \mathbf{V} sont les vecteurs singuliers gauches et droits:

$$\mathbf{M} \mathbf{v}_i = \mathbf{u}_i \sigma_i$$

$$\mathbf{M}^H \mathbf{u}_i = \mathbf{v}_i \sigma_i$$

- les \mathbf{u}_i sont les vecteurs propres de $\mathbf{M}\mathbf{M}^H$, et les \mathbf{v}_i ceux de $\mathbf{M}^H\mathbf{M}$, associés à σ_i^2 .

Projecteur sur un sous-espace

- Idempotence: $\mathbf{A}^2 = \mathbf{A}$

Alors:

- \exists base \mathbf{T} / $\mathbf{T}^{-1}\mathbf{A}\mathbf{T} = \begin{pmatrix} \mathbf{I} & \mathbf{O} \\ \mathbf{O} & \mathbf{O} \end{pmatrix}$

- Matrice de projection sur un espace engendré par les vecteurs indépendants $\{\mathbf{v}_1, \dots, \mathbf{v}_m\}$, stockés dans une matrice à m colonnes, \mathbf{V} :

$$\mathbf{A} = \mathbf{V}(\mathbf{V}^H\mathbf{V})^{-1}\mathbf{V}^H$$

- \mathbf{A} hermitienne: $\mathbf{A}^H = \mathbf{A}$

- Pythagore:

$$\|\mathbf{x}\|^2 = \|\mathbf{A}\mathbf{x}\|^2 + \|(\mathbf{I} - \mathbf{A})\mathbf{x}\|^2,$$

$$\text{car } \mathbf{A}^H\mathbf{A} = \mathbf{A} \Rightarrow \langle \mathbf{A}\mathbf{x}, (\mathbf{I} - \mathbf{A})\mathbf{x} \rangle = 0.$$

Transformations linéaires

- \mathbf{H} hermitienne \Leftrightarrow vecteurs propres orthonormés et valeurs propres réelles $\Leftrightarrow \mathbf{H}^H = \mathbf{H}$.
- \mathbf{U} unitaire \Leftrightarrow vecteurs propres orthonormés et valeurs propres de module 1 $\Leftrightarrow \mathbf{U}^H = \mathbf{U}^{-1}$.
- \mathbf{H}_n Hadamard $n \times n \Rightarrow \mathbf{U} = \frac{1}{\sqrt{n}} \mathbf{H}_n$ unitaire et hermitienne réelle $\Rightarrow \mathbf{U}^{-1} = \mathbf{U}$.
- Convolution
 - transformation linéaire invariante dans le temps
 - continue: $y(t) = [h \star x](t) = \int h(u) x(t - u) du$
 - discrète: $y(n) = [h \star x](n) = \sum_k h(k) x(n - k)$
Ecriture matricielle: $\mathbf{y} = \mathbf{H} \mathbf{x}$, \mathbf{H} Töplitz infinie
 - discrète périodique: $[h \star x](n) = \sum_{k=0}^{N-1} h(k) x(n - k)$
Ecriture matricielle: $\mathbf{y} = \mathbf{H} \mathbf{x}$, \mathbf{H} $N \times N$ Töplitz circulante
 - Élément neutre
distribution de Dirac: $\int \delta(u) x(t - u) du = x(t)$
fonction discrete de Dirac: $\delta(0) = 1$, et $\delta(n) = 0$ si $n \neq 0$
 - Produit scalaire: $y(0) = \langle h(-t)^*, x(t) \rangle$.

Transformées de Fourier

Plusieurs définitions de TF unitaires: $X = \mathcal{F}[x]$

- t discret, f discrète $\in \{0, 1, \dots, N - 1\}$

$$X_k = \frac{1}{\sqrt{N}} \sum_{n=0}^{N-1} x_n e^{-2j\pi nk/N}$$

- t discret, f continue 1-périodique $\in [0, 1[$

$$X(f) = \sum_{n=-\infty}^{\infty} x_n e^{-2j\pi fn}$$

- t continu T -périodique, f discrète $\in \{0, 1, \dots, N - 1\}$

$$X_k = \frac{1}{\sqrt{T}} \int_0^T x(t) e^{-2j\pi kt} dt$$

- t continu, f continue $\in \mathbb{R}$

$$X(f) = \int_{-\infty}^{\infty} x(t) e^{-2j\pi ft} dt$$

NB: La première définit (en dimension finie) une matrice $N \times N$ unitaire, \mathbf{U} , qui diagonalise les matrices Töplitz circulantes.

Propriétés de la TF

- $\mathcal{F}[e^{2j\pi f_o t}] = \delta(f - f_o)$
 $\mathcal{F}[\sin(2\pi f_o t)] = \frac{j}{2}(\delta(f + f_o) - \delta(f - f_o))$
 $\mathcal{F}[\cos(2\pi f_o t)] = \frac{1}{2}(\delta(f + f_o) + \delta(f - f_o))$
- Retard: $\mathcal{F}[x(t - \tau)] = e^{-2j\pi f\tau} \mathcal{F}[x(t)]$
- Produit: $\mathcal{F}[x y] = \mathcal{F}[x] \star \mathcal{F}[y]$
- Parseval: $\|\mathcal{F}[x]\|^2 = \|x\|^2$
- Peigne: $\text{III}_T(t) = \sum_n \delta(t - nT) \xrightarrow{\mathcal{F}} \text{III}_{\frac{1}{T}}(f) = \sum_k \delta(f - k\frac{1}{T})$

Intercorrélation

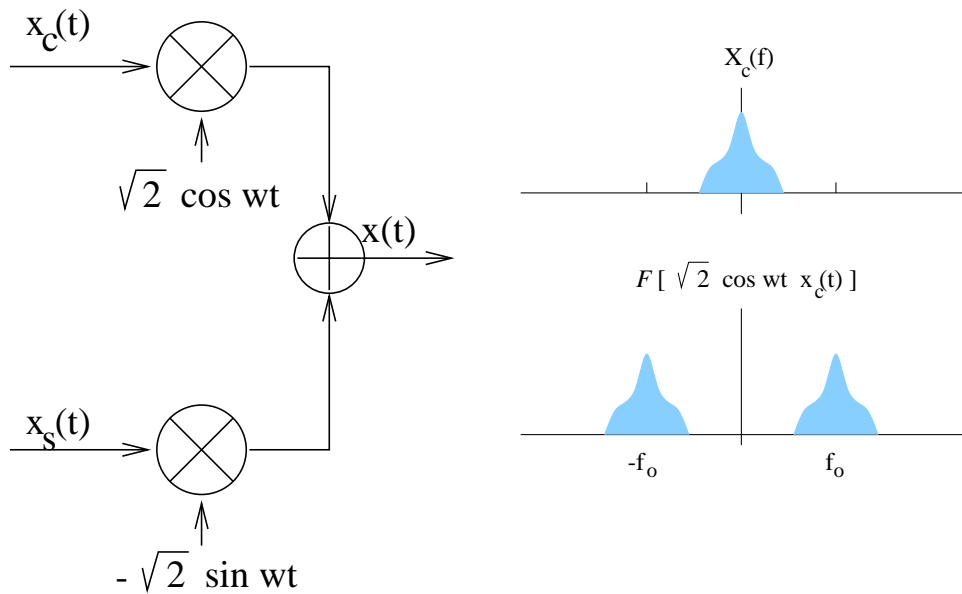
- Pour les signaux scalaires d'énergie finie:
énergie moyenne: $\langle x, x \rangle = \int_t |x(t)|^2$
énergie d'interaction: $\langle y, x \rangle = \int_t x(t) y(t)^* dt$
fonction d'inter-corrélation:
 $\gamma_{xy}(\tau) = \langle y(t - \tau), x(t) \rangle = \int_t x(t) y(t - \tau)^* dt$
- Puissance instantanée: $|x(t)|^2$
- Densités spectrales de puissance:
densité auto-spectrale: $\mathbf{\Gamma}_{XX}(f) = |X(f)|^2$
densité inter-spectrale: $\mathbf{\Gamma}_{XY}(f) = X(f) Y(f)^*$
- Théorème de Wiener-Kintchine:
 $\mathbf{\Gamma}_{XY}(f) = \mathcal{F}[\gamma_{xy}(\tau)]$
- Signaux multivariés d'énergie finie:
seulement perte de la commutativité.
 $\gamma_{xy}(\tau) = \int_t \mathbf{x}(t) \mathbf{y}(t - \tau)^H dt$ est une matrice

Modulation

- Signal temporel transmis en bande porteuse:

$$x(t) = \sqrt{2} \cos(2\pi f_o t) x_c(t) - \sqrt{2} \sin(2\pi f_o t) x_s(t)$$

- $x_c(t)$: composante “en phase”
- $x_s(t)$: composante “en quadrature”

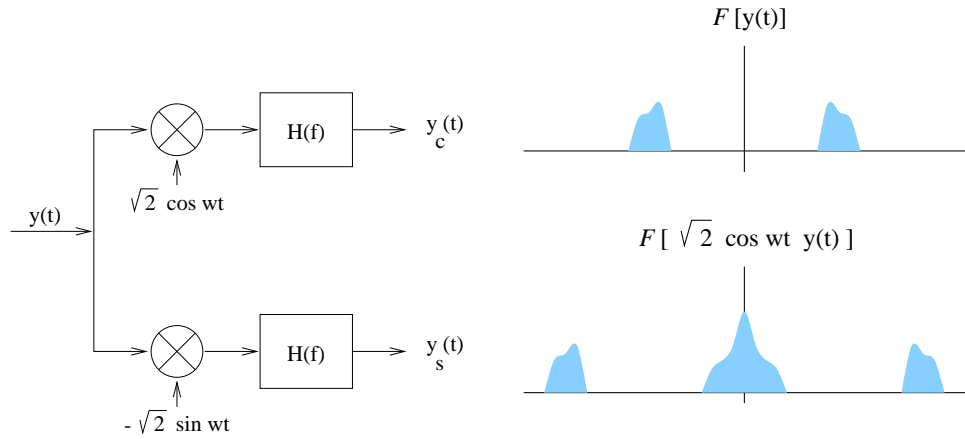


- Domaine spectral:

$$X(f) = \frac{1}{\sqrt{2}} [X_c(f + f_o) - jX_s(f + f_o)] + \frac{1}{\sqrt{2}} [X_c(f - f_o) + jX_s(f - f_o)]$$

Démodulation

- Composantes temporelles démodulées:



- Domaine spectral:

$$Y_c(f) = \frac{H(f)}{\sqrt{2}} [Y(f + f_o) + Y(f - f_o)]$$

$$Y_s(f) = -j \frac{H(f)}{\sqrt{2}} [Y(f + f_o) - Y(f - f_o)]$$

Transmission

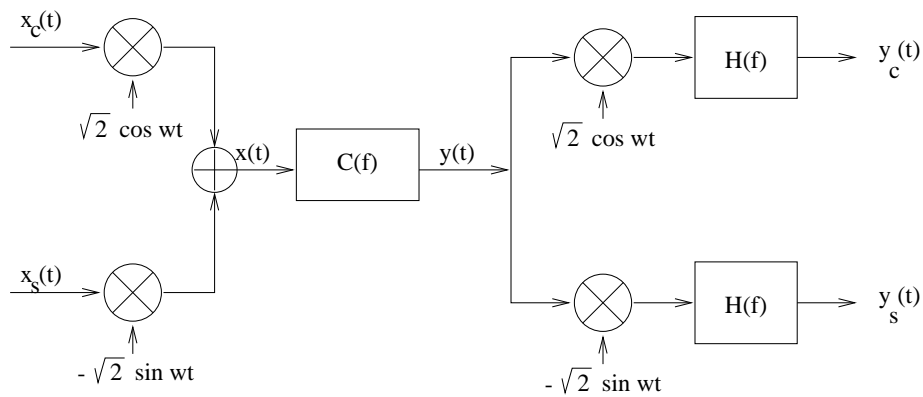
- Canal linéaire: $y(t) = [c \star x](t)$
 - Composantes en phase et en quadrature
- On démontre que:

$$\begin{bmatrix} Y_c(f) \\ Y_s(f) \end{bmatrix} = \begin{bmatrix} a(f) & j b(f) \\ -j b(f) & a(f) \end{bmatrix} \cdot \begin{bmatrix} X_c(f) \\ X_s(f) \end{bmatrix}$$

avec:

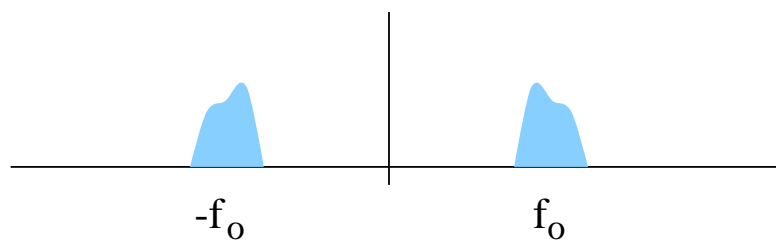
$$a(f) = \frac{H(f)}{2} [C(f + f_o) + C(f - f_o)]$$

$$b(f) = \frac{H(f)}{2} [C(f + f_o) - C(f - f_o)]$$

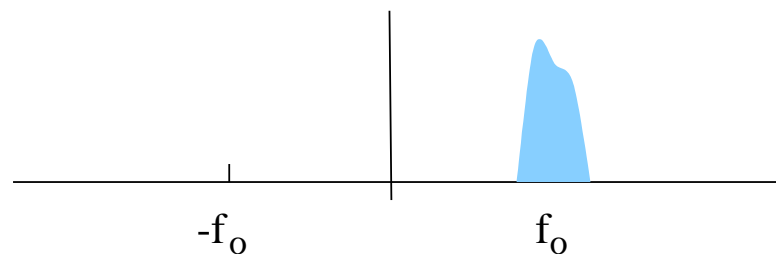


Signal analytique

- Condition passe-bande: $\infty > f_o > W > 0$



- Signal “analytique”: $\hat{X}(f) \stackrel{\text{def}}{=} \sqrt{2} U_+(f) X(f)$



- Propriété:

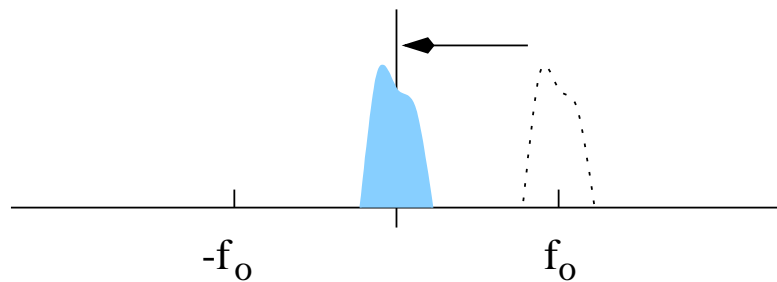
$$\hat{x}(t) \stackrel{\text{def}}{=} \mathcal{F}^{-1}[\hat{X}(f)] = \frac{1}{\sqrt{2}} \left[1 + \frac{j}{\pi t} \right] \star x(t) \stackrel{\text{def}}{=} \frac{1}{\sqrt{2}} [x(t) + j\check{x}(t)]$$

avec $\check{x}(t)$: transformée de Hilbert de $x(t)$, rotation pure de la phase de 90° .

Enveloppe complexe (1/2)

- Comme en théorie des circuits: $A \cos \omega t = \Re\{Ae^{j\omega t}\}$
- Représentation en bande de base d'un signal passe-bande de porteuse f_o :

$$\tilde{X}(f) \stackrel{\text{def}}{=} \hat{X}(f + f_o)$$



- Enveloppe complexe autour de f_o :

$$\tilde{x}(t) \stackrel{\text{def}}{=} \mathcal{F}^{-1}[\tilde{X}(f)] = \hat{x}(t) \cdot e^{-2j\pi f_o t}$$

- Propriétés élémentaires:

- Norme: $\|\tilde{x}\|^2 = \|x\|^2$
- Fréquence pure: $[A\sqrt{2} \cos(\omega_o t + \theta)] = A e^{j\theta}$
e.g. $\widetilde{\sin \omega_o t} = -j/\sqrt{2}$

Enveloppe complexe (2/2)

Si $x_c(t)$ et $x_s(t)$ sont en bande de base $< f_o$, on montre:

■ $\tilde{x}(t) = x_c(t) + j x_s(t)$

En effet, on a les propriétés:

- $x_c(t) \sqrt{2} \cos \omega_o t \xrightarrow{\sim} x_c(t)$
- $x_s(t) \sqrt{2} \sin \omega_o t \xrightarrow{\sim} -j x_s(t)$

d'où le résultat par soustraction.

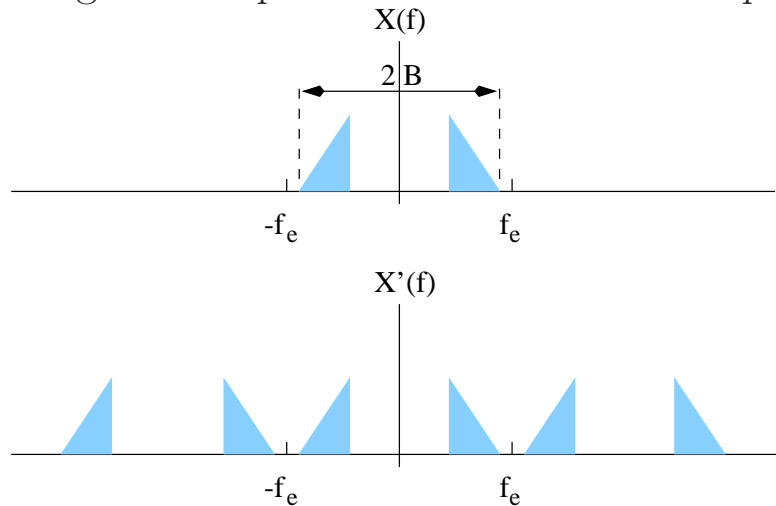
■ $\hat{x}(t) = \frac{1}{\sqrt{2}} [x(t) + j\check{x}(t)] \Rightarrow x(t) = \sqrt{2} \Re\{\check{x}(t)\}$

■ Transmission:

- $\tilde{y}(t) = c^E \star \tilde{x}(t)$
avec $C^E(f) = U_+(f + f_o) C(f + f_o) = \frac{1}{\sqrt{2}} \tilde{C}(f)$.
- $a(f) = \frac{1}{2} [C^E(f) + C^E(-f)^*]$
 $b(f) = \frac{1}{2j} [C^E(f) - C^E(-f)^*]$

Relations entre continu et discret

- Échantillonnage en temps \Leftrightarrow Périodisation en fréquence.



Théorème d'échantillonnage de Shannon: pour une bonne reconstruction d'un signal BL, il suffit qu'il n'y ait pas repliement spectral:

$$f_e > 2B$$

- Pour des signaux passe-bande $\{f_o, B\}$, on peut reconstruire avec une f_e N fois plus faible si $\exists N$ tel que:

$$N \leq \frac{f_o + B}{2B}, \text{ alors } \exists f_e : \frac{2}{N} (f_o + B) \leq f_e \leq \frac{2}{N-1} (f_o - B)$$

- On peut construire une fonction continue $x(t)$ à partir d'une séquence discrète $x'(k)$: $x(t) = \sum_k x'(k) g(t - kT)$

Exemples de largeurs de bande

	f_e	$2B$
GSM	900 MHz	200 kHz
DECT	1900 MHz	1.7 MHz
UMTS	1880-2200 MHz	4 MHz
IS95	879-900MHz	1.25 MHz

Interférence inter-symbole

Critère de Nyquist sur le filtre global continu, $p(t)$:

- en zéro: $p(0) = 1$
- en kT , $k \neq 0$: $p(kT) = 0$
- pour $t \neq kT$, valeur libre

Conclusion:

- Domaine temps:

$$p(t) \cdot \text{III}_T(t) = \delta(t)$$

- Domaine fréquence:

$$P(f) \star \text{III}_{\frac{1}{T}}(f) = \sum_n P(f - \frac{n}{T}) = 1$$

Formes d'onde

Exemple de filtres satisfaisant la condition de Nyquist de non ISI, les cosinus sur-élevés:

$$p(t) = \operatorname{sinc}\left(\frac{\pi t}{T}\right) \frac{\cos(\alpha\pi t/T)}{1 - (2\alpha t/T)^2}$$

soit

$$P(f) = \begin{cases} T, & 0 \leq f \leq (1 - \alpha)/2T \\ \frac{T}{2} \left[1 - \sin\left(\frac{\pi T}{\alpha}\left(|f - \frac{1}{2T}\right)\right)\right], & (1 - \alpha)/2T \leq |f| \leq (1 + \alpha)/2T \\ 0, & (1 + \alpha)/2T \leq f \end{cases}$$

α : facteur de *roll-off*, ou *excès de bande*

Bande occupée: $(1 + \alpha)/T$

Excès de bande

Cosinus sur-élevé, pour 3 valeurs de α :

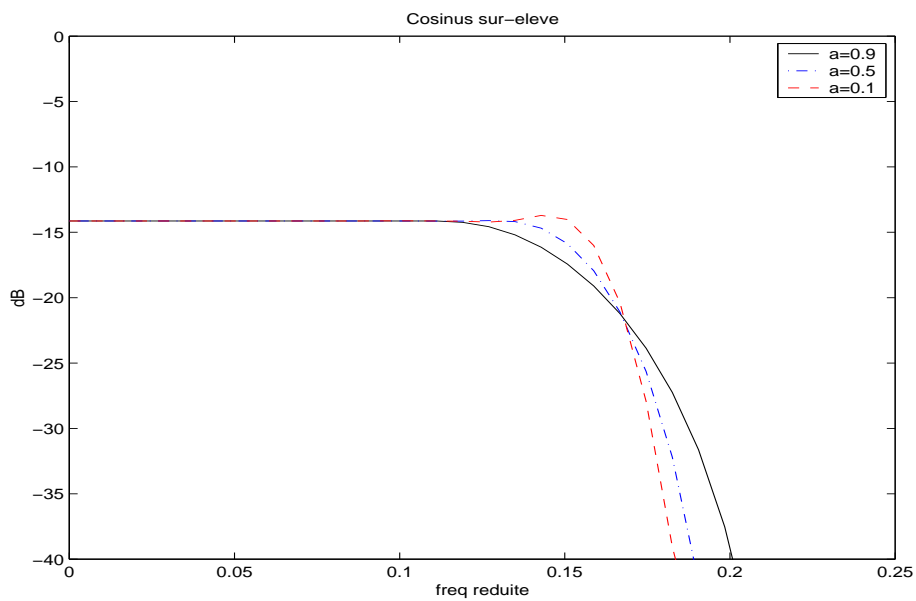
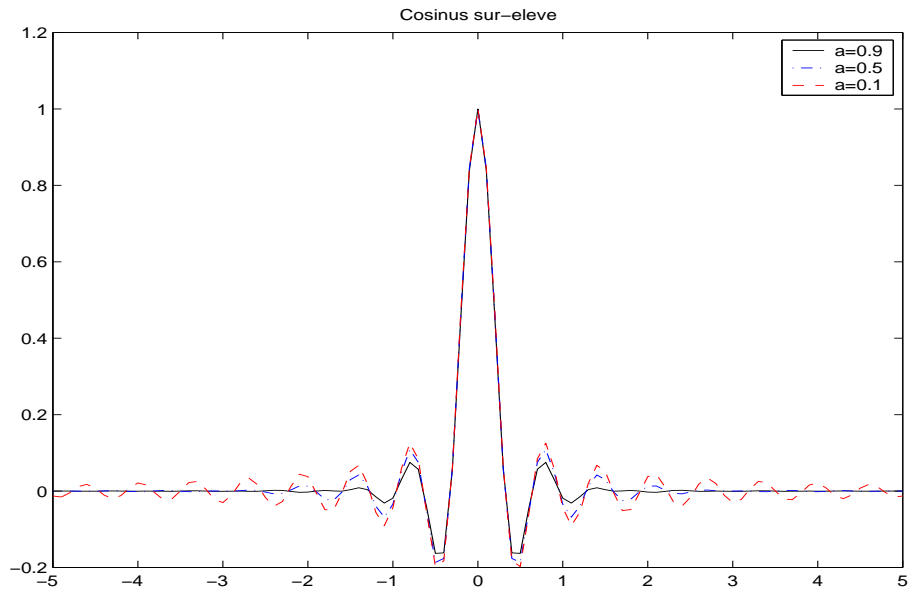


Diagramme de l'œil (1/2)

PAM4 en bande de base, $\alpha = 0.9$

alpha=0.9, M=4

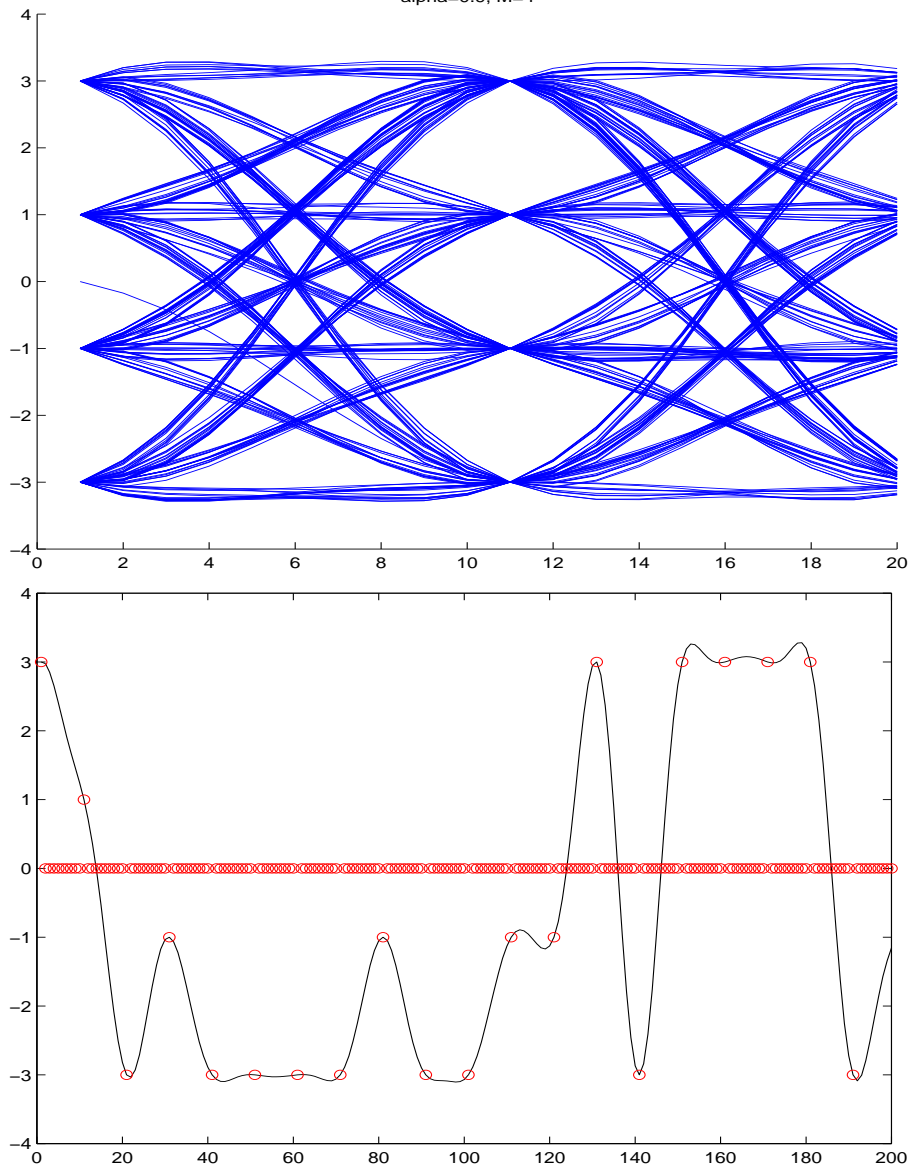
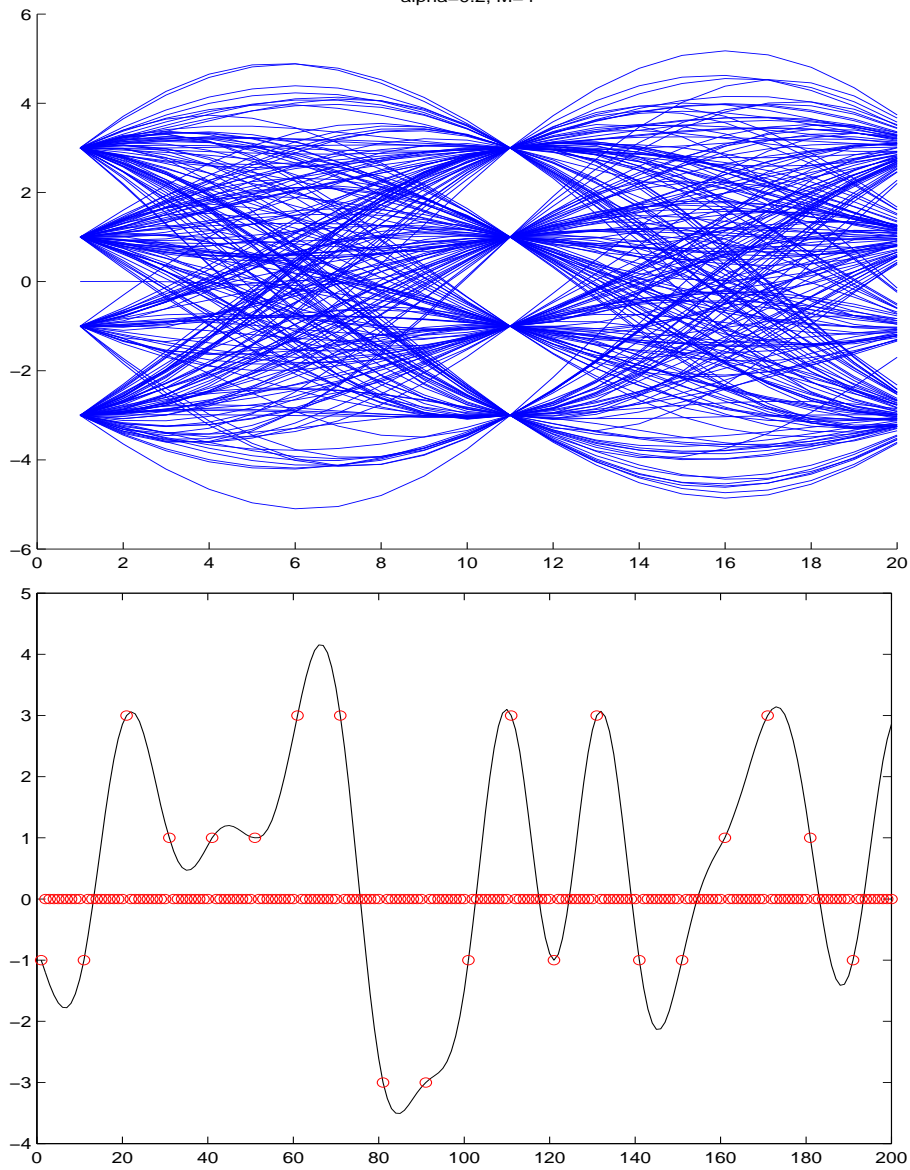


Diagramme de l'œil (2/2)

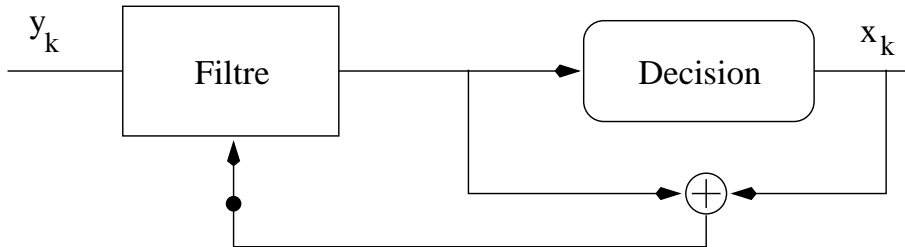
PAM4 en bande de base, $\alpha = 0.2$

alpha=0.2, M=4



Egalisation par forçage à zéro

Egaliseur fonctionnant soit quand l'oeil est ouvert, soit avec une séquence d'apprentissage:



Egaliseur dirigé par la décision